

# **ЛЕКЦИЯ 2. ПОГЛОЩЕНИЕ ЛАЗЕРНОГО ИЗЛУЧЕНИЯ В МЕТАЛЛАХ И ПОЛУПРОВОДНИКАХ**

# КОМПЛЕКСНАЯ ДИЭЛЕКТРИЧЕСКАЯ ПРОНИЦАЕМОСТЬ

Волновое уравнение для проводящей среды при  $\rho_e = 0$

$$\frac{\partial^2 E}{\partial x^2} - \mu_r \mu_0 \varepsilon_r \varepsilon_0 \frac{\partial^2 E}{\partial t^2} - \mu_r \mu_0 \sigma \frac{\partial E}{\partial t} = 0$$

$\sigma$  – проводимость металла

$\varepsilon_r$ ,  $\mu_r$  – диэлектрическая и магнитная проницаемости

Для гармонических полей вида  $E(t) = E_\omega \exp(-i\omega t)$

$$\frac{\partial^2 E_\omega}{\partial x^2} + \frac{\omega^2}{c^2} \mu_r \left( \varepsilon_r + \frac{i\sigma}{\varepsilon_0 \omega} \right) E_\omega = 0$$

$c = \frac{1}{\sqrt{\mu_0 \varepsilon_0}}$  - скорость света в вакууме

В случае диэлектрика  $\sigma = 0$ , и волновое уравнение имеет стандартный вид

$$\frac{\partial^2 E_\omega}{\partial x^2} + \frac{\omega^2}{c^2} \mu_r \varepsilon_r E_\omega = 0$$

Уравнения для проводящей и непроводящей сред формально совпадут если ввести комплексную диэлектрическую проницаемость  $\tilde{\varepsilon}$ .

$$\tilde{\varepsilon} = \varepsilon_r + \frac{i\sigma}{\varepsilon_0 \omega}$$

- комплексная диэлектрическая проницаемость

# ПОГЛОЩЕНИЕ ЭЛЕКТРОМАГНИТНЫХ ВОЛН В МЕТАЛЛЕ

Решение уравнения для амплитуды поля в проводящей среде будем искать в виде:

$$E_\omega = E_0 \exp(i k x)$$

После подстановки получим:  $k^2 = \frac{\omega^2}{c^2} \tilde{\epsilon} = \frac{\omega^2}{c^2} n^2$  (здесь принято, что  $\mu_r = 1$ )

$k = k + is$  - комплексное волновое число

$n^2 = \tilde{\epsilon}$ ,  $\tilde{n} = n + ik_p$  - комплексный показатель преломления ( $k_p$  – коэффициент экстинкции)

Комплексность волнового числа означает, что амплитуда поля убывает по экспоненциальному закону.

Действительно  $E_0 \exp(i(k + is)x) = E_0 \exp(-sx) \exp(ikx)$

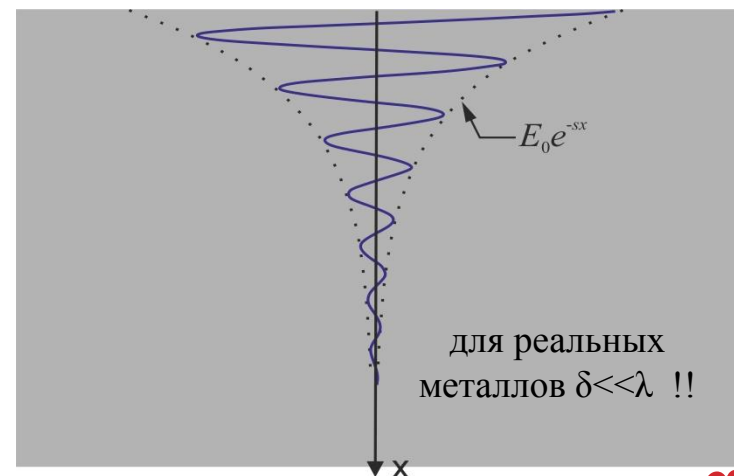
$$s = \frac{\omega k_p}{c}$$

Для интенсивности:

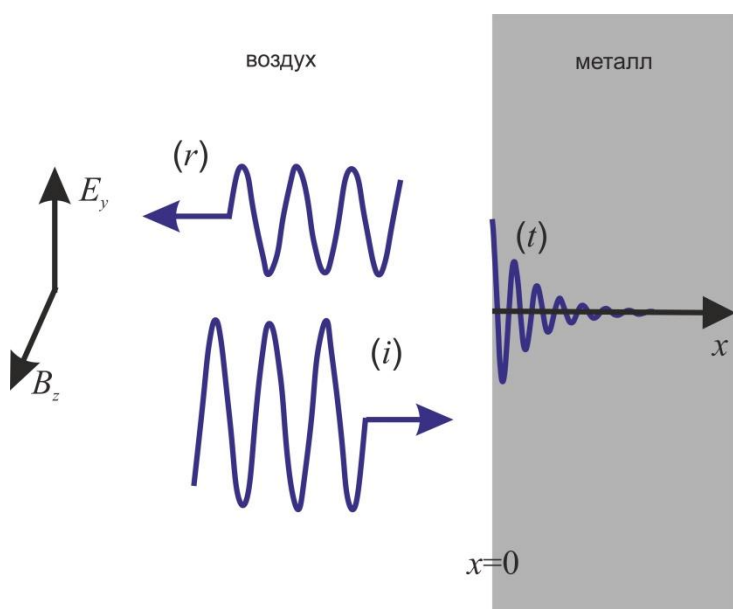
$$I \propto \exp(-\alpha x), \quad \alpha = \frac{2\omega k_p}{c}$$

$\delta = \frac{1}{\alpha}$  - глубина проникновения излучения, рассто-

жение на котором интенсивность излучения спадает в  $e$  раз.



# ОТРАЖЕНИЕ ЭЛЕКТРОМАГНИТНОЙ ВОЛНЫ ОТ ГРАНИЦЫ МЕТАЛЛ-ВОЗДУХ



Из уравнения  $\text{rot}E = -\frac{\partial \mathbf{B}}{\partial t}$  для плоской, линейно поляризованной волны вида  $E_y = E_0 \exp(-i(\omega t \pm \tilde{k}x))$ ,  $B_z = B_0 \exp(-i(\omega t \pm \tilde{k}x))$ , можно получить соотношение для амплитуд:  $kE_0 = \pm \omega B_0$  или  $nE_0 = \pm cB_0$ . (отсюда также следует, что отношение сил, действующих на заряд со стороны магнитного и электрического поля порядка  $v/c$ , где  $v$  – скорость частицы).

Для падающей волны:

$$E_y^i = E_0^i \exp\left(-i\left(\omega t - \frac{\omega}{c}x\right)\right)$$

$$B_z^i = B_0^i \exp\left(-i\left(\omega t - \frac{\omega}{c}x\right)\right)$$

Для отраженной волны:

$$E_y^r = -E_0^r \exp\left(-i\left(\omega t + \frac{\omega}{c}x\right)\right)$$

$$B_z^r = -B_0^r \exp\left(-i\left(\omega t + \frac{\omega}{c}x\right)\right)$$

Для прошедшей волны:

$$E_y^t = E_0^t \exp\left(-i\left(\omega t + \frac{n\omega}{c}x\right)\right)$$

$$B_z^t = B_0^t \exp\left(-i\left(\omega t + \frac{n\omega}{c}x\right)\right)$$

## КОЭФФИЦИЕНТ ОТРАЖЕНИЯ. ПОГЛОЩАТЕЛЬНАЯ СПОСОБНОСТЬ

На границе металл-воздух должны выполняться условия непрерывности тангенциальных компонент электрических и магнитных полей.

$$E_0^i - E_0^r = E_0^t$$

$$E_0^i + E_0^r = \tilde{n} E_0^t$$

Решая эту систему относительно  $r = \frac{E_0^r}{E_0^i}$ , получим  $r = \frac{\tilde{n}-1}{\tilde{n}+1}$ .

Отношение интенсивностей отраженной и падающей волн называют коэффициентом отражения металла  $R$ .

$$R = \frac{|E_0^r|^2}{|E_0^i|^2} = |r|^2 \quad R = \frac{(n-1)^2 + k_p^2}{(n+1)^2 + k_p^2}$$

Всегда имеет место соотношение  $R + A + T = 1$ . Для металлов  $T = 0$ , поэтому поглощательная способность равна:

$$A = 1 - R$$

$$A = \frac{4n}{(n+1)^2 + k_p^2}$$

Поглощательная способность определяет долю энергии электромагнитной волны, поглощенной средой.

# ТЕОРИЯ ДРУДЕ-ЛОРЕНЦА

На практике важно знать частотные и температурные зависимости  $A(\omega, T)$  и  $\alpha(\omega, T)$ , т.е.  $n(\omega, T)$  и  $k_p(\omega, T)$  для металлов.

Для определения зависимостей  $n(\omega, T)$  и  $k_p(\omega, T)$  будем использовать классическую модель Друде-Лоренца. В модели Друде для рассмотрения электронного газа в металлах практически без изменений применяются методы кинетической теории разреженных газов.

## Основные положения теории Друде:

1. В интервале между столкновениями не учитывается взаимодействие электрона с другими электронами и ионами. (приближение свободных и независимых электронов).
2. Столкновения - внезапные события, меняющие скорость электрона. Столкновения поддерживает локальное термодинамическое равновесие: скорость электрона не связана со скоростью до столкновения, её величина соответствует температуре области где произошло столкновение.
3. Для электрона вероятность испытать столкновение за время  $dt$  равна  $dt/\tau$ . ( $\tau$  – время свободного пробега).

# СВЯЗЬ ПРОВОДИМОСТИ С МИКРО-ХАРАКТЕРИСТИКАМИ МЕТАЛЛА

Можно показать, что изменение импульса, приходящегося на один электрон, во внешнем переменном электрическом поле подчиняется уравнению:

$$\frac{dp}{dt} = -\frac{p}{\tau} - eE(t) \quad \text{- эффект столкновений отдельных электронов сводится к введению дополнительного члена соответствующего трению.}$$

Для гармонических воздействий  $E_y(t) = E_0 \exp(-i\omega t)$  будем искать решение в виде:

$$p_y(t) = p_0 \exp(-i\omega t).$$

После подстановки получаем:  $p_y(t) = \frac{-eE_y(t)}{\left(\frac{1}{\tau} - i\omega\right)}$

Для плотности тока справедливо:  $j_e(t) = -\frac{n_e e p_y(t)}{m_e} = \sigma E_y(t)$

Соответственно  $\sigma(\omega) = \frac{n_e e^2 \tau}{(1 - i\omega\tau)m_e}$       при  $\omega = 0$        $\sigma_0 = \frac{n_e e^2 \tau}{m_e}$

# ДИСПЕРСИЯ КОМПЛЕКСНОЙ ДИЭЛЕКТРИЧЕСКОЙ ПРОНИЦАЕМОСТИ

$$\tilde{\epsilon}(\omega) = \epsilon_r(\omega) + \frac{i\sigma(\omega)}{\epsilon_0\omega}$$

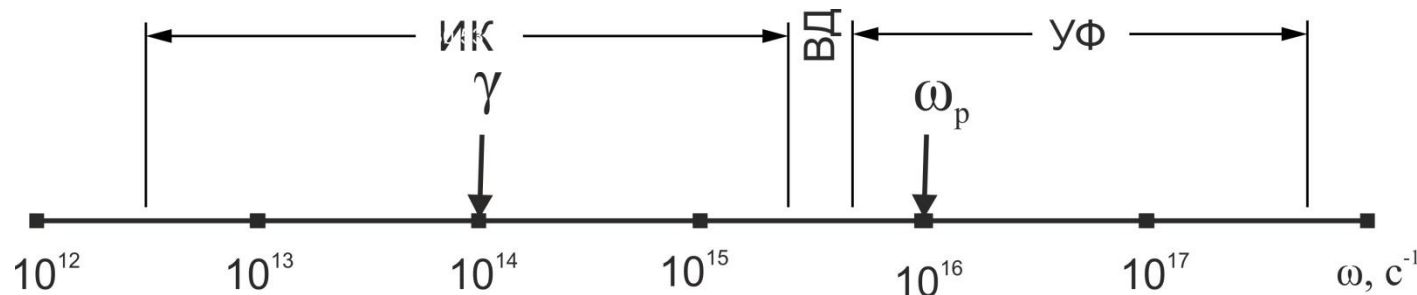
Выделяя вещественную и минимую части в выражении для комплексной диэлектрической проницаемости, получим:

$$\operatorname{Re}\tilde{\epsilon} = \epsilon_r - \frac{\omega_p^2}{\omega^2 + \gamma^2} \quad \operatorname{Im}\tilde{\epsilon} = \frac{\gamma\omega_p^2}{\omega(\omega^2 + \gamma^2)}$$

$$\omega_p = \sqrt{\frac{n_e e^2}{\epsilon_0 m_e}} \text{ - плазменная частота} \quad \gamma = \frac{1}{\tau} \times 10^{13} - 10^{14} \text{ c}^{-1} \text{ - частота столкновений}$$

Для металлов  $\rho \approx 10^{22} - 10^{23} \text{ г/см}^3$  соответственно  $\omega_p \approx 5 \cdot 10^{15} - 10^{16} \text{ c}^{-1}$

Параметры  $\gamma$  и  $\omega_p$  играют роль граничных параметров, определяющих дисперсионные зависимости оптических свойств металлов.



# ДИСПЕРСИЯ КОМПЛЕКСНОГО ПОКАЗАТЕЛЯ ПРЕЛОМЛЕНИЯ

$$n^2 = \tilde{\epsilon}$$

$$n^2 - k_p^2 = 1 - \frac{\omega_p^2}{\omega^2 + \gamma^2} \quad 2nk_p = \frac{\omega_p^2 \gamma}{\omega(\omega^2 + \gamma^2)} \quad (\text{здесь принято } \epsilon_r = 1)$$

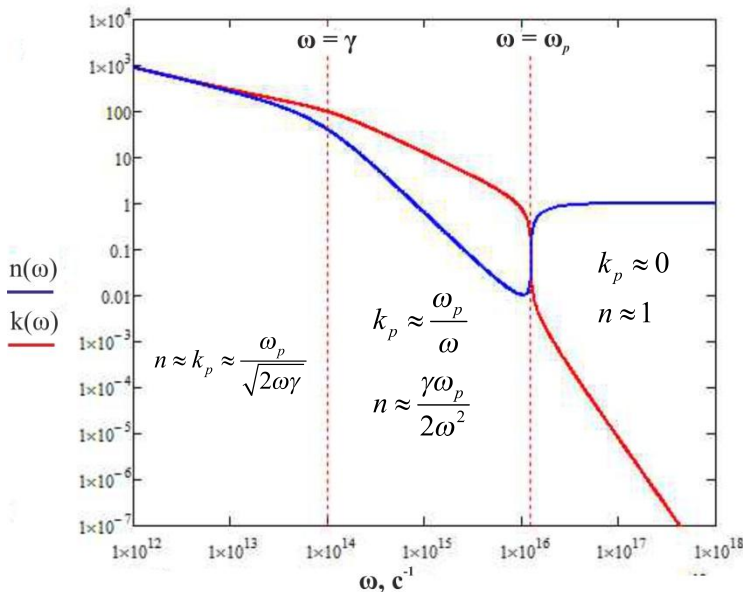
Обозначив  $\frac{\omega_p^2}{\omega^2 + \gamma^2} = b$  можно получить дисперсионные зависимости  $n$  и  $k_p$  в виде:

$$n(\omega) = \frac{1}{\sqrt{2}} \sqrt{\sqrt{\left(\frac{b\gamma}{\omega}\right)^2 + (b-1)^2} - (b-1)}$$

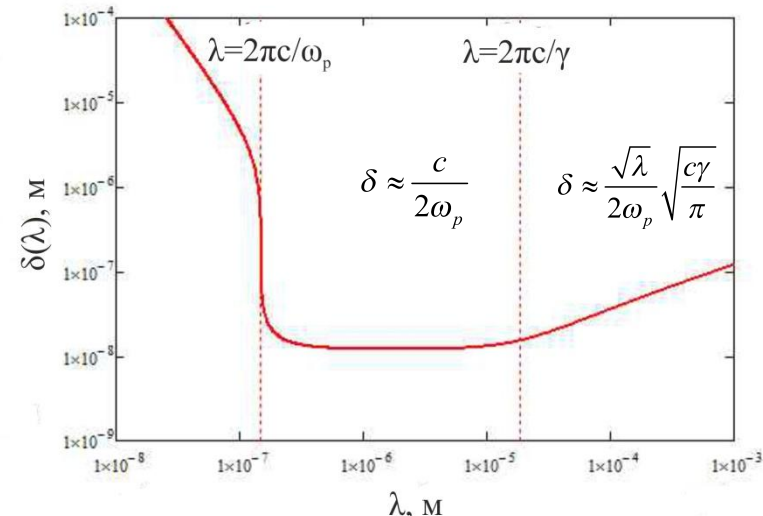
$$k_p(\omega) = \frac{1}{\sqrt{2}} \sqrt{\sqrt{\left(\frac{b\gamma}{\omega}\right)^2 + (b-1)^2} + (b-1)}$$

# ЧАСТОТНЫЕ ЗАВИСИМОСТИ ОПТИЧЕСКИХ СВОЙСТВ МЕТАЛЛА

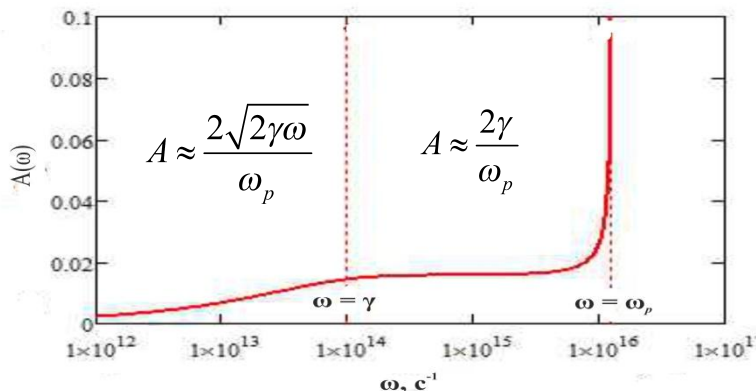
Частотные зависимости  $n$  и  $k_p$



Зависимость глубины скин-слоя от длины волны



Частотная зависимость поглощательной способности

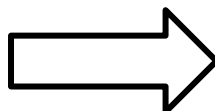


$$\delta = \frac{c}{2\omega k_p}$$

$$A = 1 - R = \frac{4n}{(n+1)^2 + k_p^2}$$

# ТЕМПЕРАТУРНАЯ ЗАВИСИМОСТЬ ПОГЛОЩАТЕЛЬНОЙ СПОСОБНОСТИ

проводимость металла зависит от температуры



оптические характеристики также зависят от температуры

Известно, что при  $T > T_D$  ( $T_D$  – температура Дебая)  $\gamma \propto T$  ( $\sigma_0 \propto T^{-1}$ ).

Если  $\gamma < \omega < \omega_p$ , то  $A = \frac{2\gamma}{\omega_p}$  и можно записать  $A(T) = A_0 + \chi(T - T_0)$ .

Параметр  $\chi \sim 10^{-5} - 10^{-4}$  К<sup>-1</sup> может быть определен по температурным зависимостям проводимости.

При нагреве на 1000 К температурная добавка к поглощательной способности может составлять несколько процентов, что может быть существенно, ввиду её низкого первоначального значения.

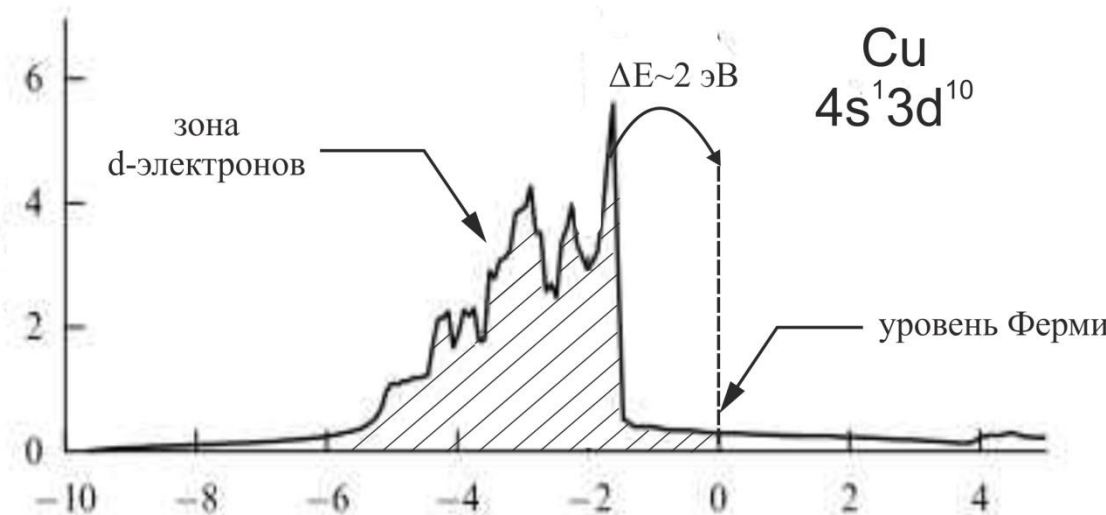
Таким образом, между нагревом и поглощением излучения имеется положительная обратная связь, что может приводить к появлению неустойчивостей в динамике нагрева и снижению порогов повреждения металлов.

# ВЛИЯНИЕ СВЯЗАННЫХ ЭЛЕКТРОНОВ НА ОПТИЧЕСКИЕ ХАРАКТЕРИСТИКИ МЕТАЛЛОВ

В реальных металлах не всегда можно пренебречь вкладом в диэлектрическую проницаемость от связанных электронов.

Влиянием связанных электронов объясняется цвет металла (медь, золото).

Плотность электронных состояний в меди



Разность между потолком  $d$ -зоны и уровнем Ферми для некоторых металлов:

меди             $\Delta E \sim 2$  эВ (620 нм)

золото         $\Delta E \sim 2.5$  эВ

серебро       $\Delta E \sim 4$  эВ (310 нм)

## АНОМАЛЬНЫЙ СКИН-ЭФФЕКТ

Для проведенного ранее рассмотрения было существенно выполнение закона Ома. Однако в условиях, когда длина свободного пробега электрона превышает характерный масштаб на котором существенно меняется поле (т.е. глубину скин-слоя), то электрон, двигаясь за время свободного пробега получит добавочную скорость, которая будет зависеть от напряжённости поля вдоль пути движения. Значение плотности тока в некоторой точке уже не будет определяться значением поля в той же точке.

Соответственно:  $j \neq \sigma E$ ,  $j = f(E, x)$

Более детальный анализ показывает, что

$$A = A_v + A_s$$
$$A_v = \frac{2\gamma}{\omega_p} \quad A_s = \frac{3}{4} p \frac{v_F}{c}$$

$A_v$  – объемная поглощательная способность  
 $A_s$  – поверхностная поглощательная способность  
 $p$  – доля диффузно отраженных поверхностью электронов  
( $0 < p < 1$ , существенно зависит от шероховатости)  
 $v_F$  - скорость Ферми

Вклад поверхностного поглощения может быть заметен при низких температурах ( $\gamma$  мало) и для шероховатых поверхностей (большие значения  $p$ ).

# ПОГЛОЩЕНИЕ ИЗЛУЧЕНИЯ В ПОЛУПРОВОДНИКАХ

## Виды поглощения излучения в полупроводниках:

- Собственное (межзонное) поглощение света (внутренний фотоэффект).

$$\omega > E_g \quad \alpha = f(\omega - E_g), \quad \alpha \approx 10^3 - 10^5 \text{ cm}^{-1}$$

- Внутризонное поглощение (поглощение свободными носителями).

Рассматривается аналогично поглощению свободными электронами в металлах

- Примесное поглощение

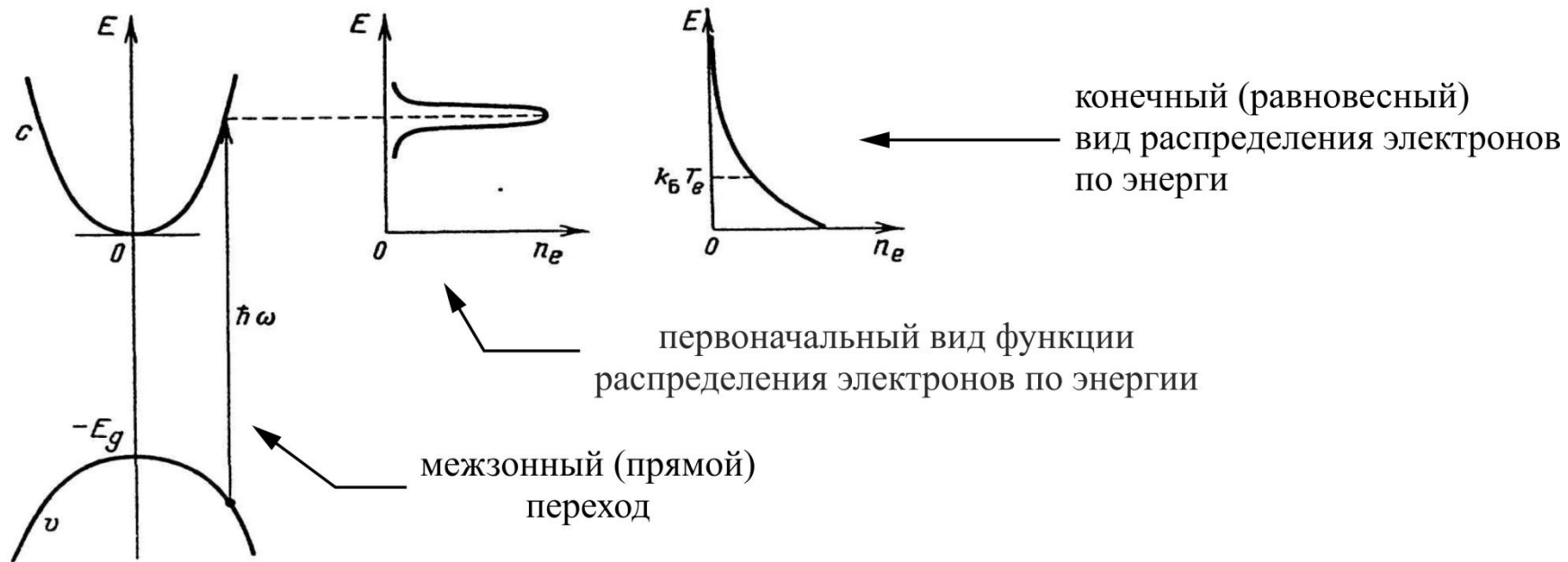
$$\omega < E_M, \quad \alpha \approx 10^{-1}$$

- Решеточное поглощение

Излучение взаимодействует непосредственно с ионами полупроводника.

$$\alpha \approx 10^3 \text{ cm}^{-1}$$

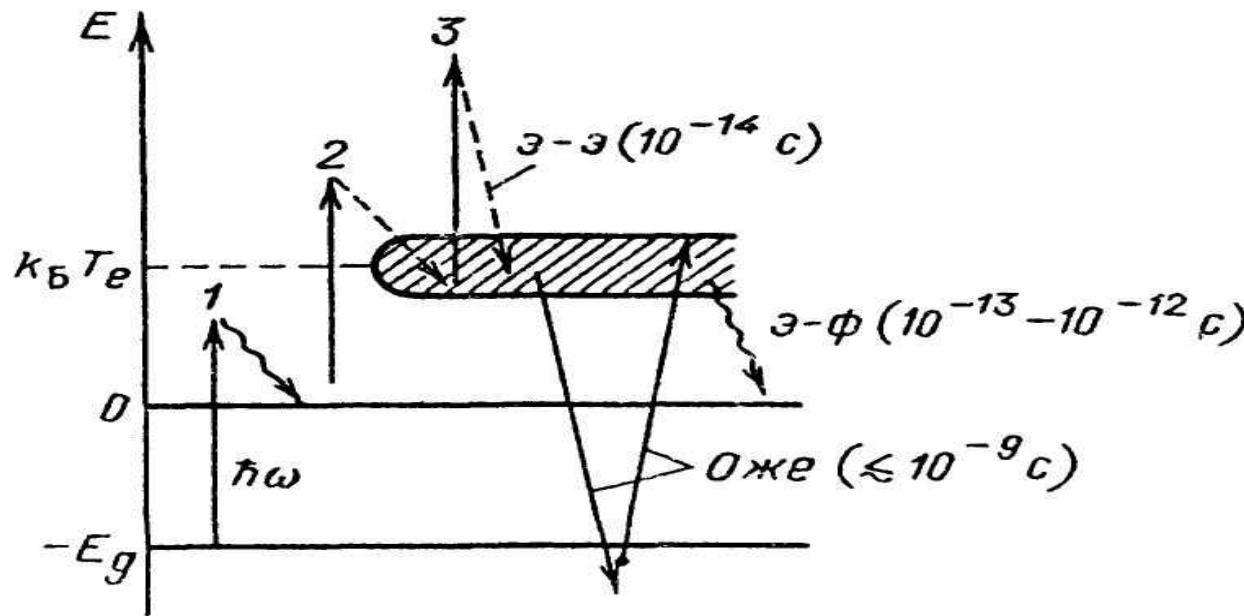
# ЭЛЕКТРОННЫЕ ПЕРЕХОДЫ В ПОЛУПРОВОДНИКЕ ПРИ ЛАЗЕРНОМ ВОЗБУЖДЕНИИ



Первоначально в результате поглощения квантов излучения происходит генерация Электрон-дырочных пар, имеющих неравновесное распределение по энергиям. Процессы внутризонной релаксации приводящие к формированию равновесного распределения (электрон-электронные столкновения,  $\tau \sim 10^{-14}$  с), и выравниванию Температуры носителей и решетки (электрон-фононное взаимодействие,  $\tau \sim 10^{-12}$  с).

# ЭЛЕКТРОННЫЕ ПЕРЕХОДЫ В ПОЛУПРОВОДНИКЕ ПРИ ЛАЗЕРНОМ ВОЗБУЖДЕНИИ

Схема электронных переходов в полупроводнике в условиях интенсивного лазерного облучения



По мере увеличения концентрации свободных носителей становится существенным внутризонное поглощение, процессы рекомбинации и диффузии носителей.

# ПРОЦЕССЫ РЕКОМБИНАЦИИ

## Виды рекомбинационных процессов:

### 1. Излучательная рекомбинация

В результате излучаются световые кванты с энергией  $\sim E_g$ .

$$\frac{\partial n_e}{\partial t} = -\beta_2 \vec{a}_e \cdot \vec{c} \quad \beta_2 \approx 10^{-15} - 10^{-20} \text{ s}^{-1}$$

### 2. Безызлучательная рекомбинация

Энергия  $\sim E_g$  передается решетке.

$$\frac{\partial n_e}{\partial t} = -\beta_1 \vec{a}_e, \quad \beta_1 \approx 10^{-9} \text{ s}^{-1}$$

### 3. Ударная (Оже) рекомбинация

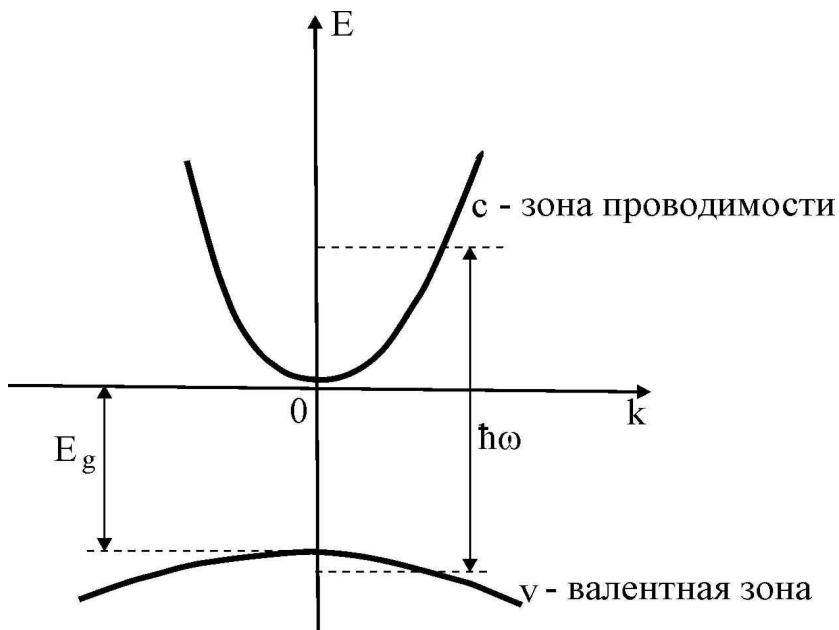
Энергия, высвобождающаяся при рекомбинации передается другому носителю, который рассеивает ее впоследствии при взаимодействии с колебаниями решетки.

$$\frac{\partial n_e}{\partial t} = -\beta_3 \vec{a}_e \cdot \vec{c} \quad \beta_3 \approx 10^{-27} - 10^{-33} \text{ s}^{-1}$$

В полупроводниках имеются 2 механизма перевода поглощенной энергии в тепло, имеющих различный временной масштаб:

1. Быстрые  $\tau \sim 10^{-13} - 10^{-12}$  с (электрон-фононное взаимодействие)
2. Медленные  $\tau \sim 10^{-9} - 10^{-2}$  с (безызлучательная рекомбинация)

# МЕЖЗОННОЕ ПОГЛОЩЕНИЕ. ПРЯМЫЕ ПЕРЕХОДЫ



Импульс оптического фотона мал, поэтому

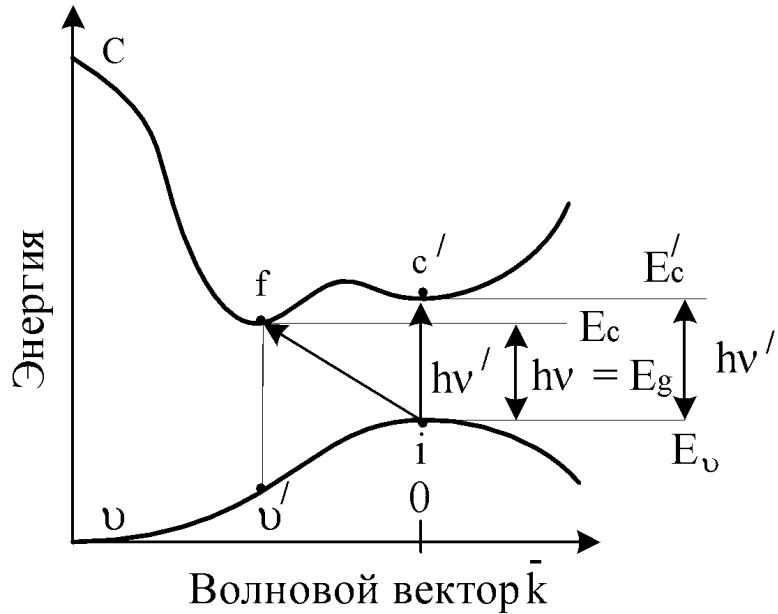
$$k_e \approx k_h \approx k$$
$$\frac{h^2 k^2}{2} \left( \frac{1}{m_e} + \frac{1}{m_h} \right) = \hbar \omega - E_g$$

Квант излучения заданной частоты может быть поглощен только носителем с определенным значением волнового числа

Для случая разрешенных прямых переходов  $\alpha \propto (\hbar \omega - E_g)^{\frac{1}{2}}$

Для случая запрещенных прямых переходов  $\alpha \propto (\hbar \omega - E_g)^{\frac{3}{2}}$

# МЕЖЗОННОЕ ПОГЛОЩЕНИЕ. НЕПРЯМЫЕ ПЕРЕХОДЫ



Непрямые переходы возможны при участии третьей частицы (фонона), обеспечивающей выполнение закона сохранения импульса.

Возможны процессы как с испусканием, так и с поглощением фонона.

$$\alpha = B(\omega - E_g \pm \Omega)^2$$
$$B \ll T, \quad T > T_D$$

Непрямые переходы характерны для кремния при  $1.1 < \omega < 3.4 \text{ эВ}$   
(Nd:YAG-лазер, волоконный иттербийевый лазер)

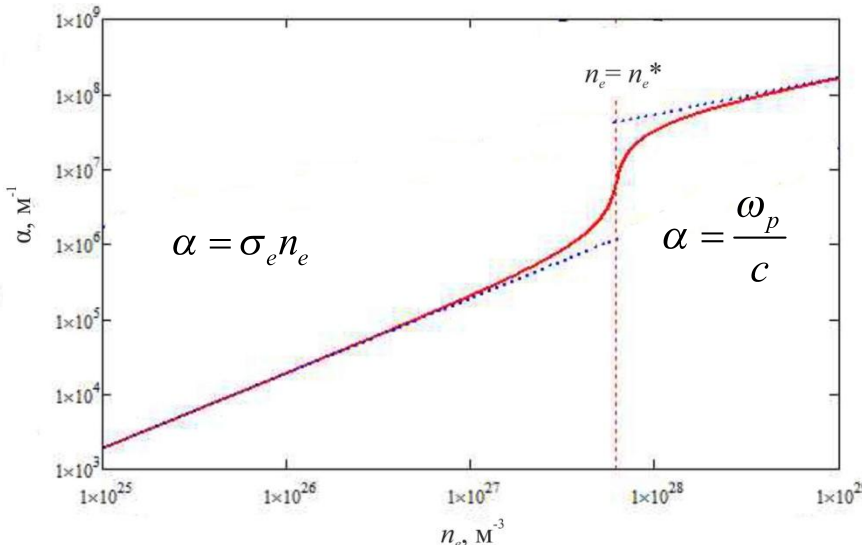
# ПОГЛОЩЕНИЕ НА СВОБОДНЫХ НОСИТЕЛЯХ

Поглощение излучения свободными носителями в полупроводниках аналогично поглощению в металлах.

$$k_p = \frac{1}{\sqrt{2}} \sqrt{\sqrt{\left(\frac{b\gamma}{\omega}\right)^2 + (b - \varepsilon_r)^2} + (b - \varepsilon_r)}$$

$\varepsilon_r = n_0^2$ ,  $n_0^2$  – показатель преломления полупроводника в условиях отсутствия свободных носителей

Зависимость коэффициента поглощения от концентрации свободных носителей



При  $\omega_p \ll \omega$        $\alpha = \sigma_e n_e$   
 $\sigma_e = \frac{e^2 \gamma}{\varepsilon_0 c n_0 m^* \omega^2}$  - сечение поглощения  
свободными носителями

При  $\omega_p \gg \omega$        $\alpha = \frac{\omega_p}{c}$

Характер зависимости  $\alpha(n_e)$  меняется при

$$n_e = n^* = \frac{m^* n_0^2 \varepsilon_0 (\omega^2 + \gamma^2)}{e^2}, \quad (\omega = \omega_p, \operatorname{Re} \varepsilon = 0)$$

# ВЛИЯНИЕ СВОБОДНЫХ НОСИТЕЛЕЙ НА ОПТИЧЕСКИЕ СВОЙСТВА ПОЛУПРОВОДНИКА

При каких концентрациях свободных носителей они начинают существенно влиять на оптические свойства полупроводника?

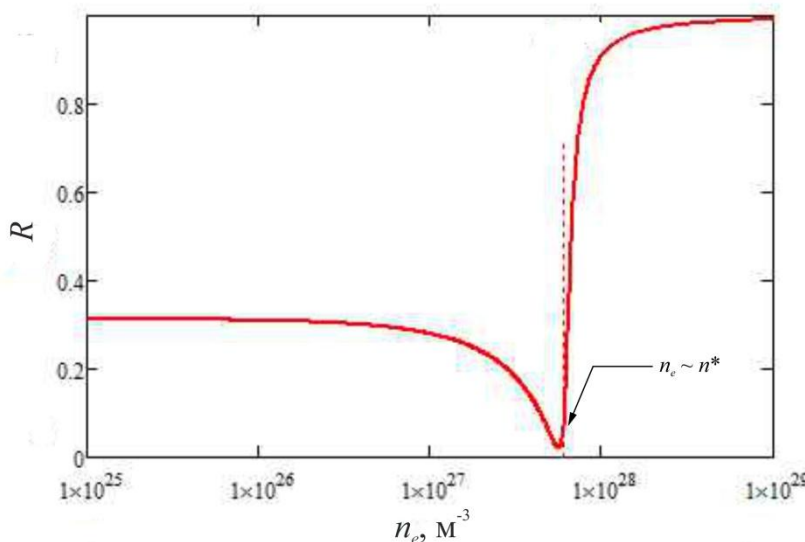
Сравним коэффициенты межзонного поглощения и коэффициент поглощения на свободных носителях для кремния на длине волны 1.06 мкм.

$\alpha_{VC} \otimes 10^3 \text{ м}^{-1}$  Соответственно влиянием свободных электронов на коэффициент

$\sigma_e \otimes 10^{-22} \text{ м}^2$

поглощения можно пренебречь при  $\omega \ll \frac{\alpha_{VC}}{\sigma_e} \otimes 10^{19} \text{ Гц}^{-3}$ .

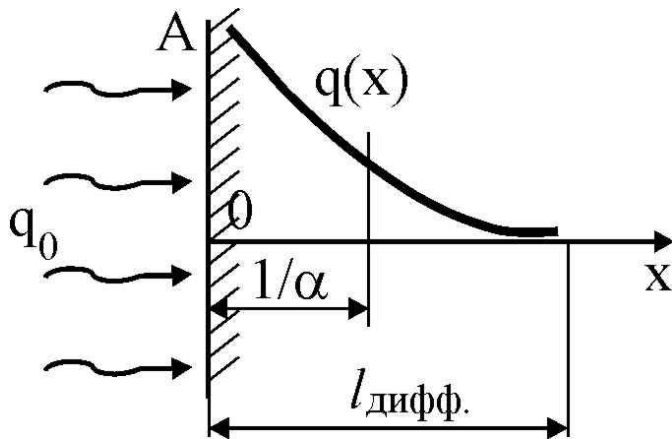
Зависимость коэффициента отражения кремния  
от концентрации свободных носителей



При  $\omega \ll n^* \otimes 5 \cdot 10^{21} \text{ Гц}^{-3}$  коэффициент отражения практически не меняется.

Такие уровни фотовозбуждения достижимы только при воздействии ультракоротких лазерных импульсов.

# ФОТОВОЗБУЖДЕНИЕ ПОЛУПРОВОДНИКОВ ЛАЗЕРНЫМ ИЗЛУЧЕНИЕМ



$q$  – плотность мощности ( $\text{Вт}/\text{см}^2$ )

$I = \frac{q}{\pi \omega}$  - плотность потока фотонов ( $1/(\text{с} \cdot \text{см}^2)$ )

$\frac{\partial I}{\partial x} = -\alpha_{VC} I$  - закон Бугера в дифференциальной форме

Скорость генерации носителей:

$$\left( \frac{\partial n_e}{\partial t} \right)_+ = \alpha_{VC} I$$

Скорость рекомбинации носителей:

$$\left( \frac{\partial n_e}{\partial t} \right)_- = -\beta_1 n_e - \beta_2 n_e^2 - \beta_3 n_e^3$$

Изменение концентрации  
носителей за счет диффузии:

$$\left( \frac{\partial n_e}{\partial t} \right)_{dif} = D \frac{\partial^2 n_e}{\partial x^2}$$

$D$  – коэффициент амбиполярной диффузии  $n_e = n_p$

$$D = \frac{2D_p D_e}{D_e + D_p}$$

# ФОТОВОЗБУЖДЕНИЕ ПОЛУПРОВОДНИКОВ ЛАЗЕРНЫМ ИЗЛУЧЕНИЕМ

Уравнение описывающее кинетику фотовозбуждения полупроводника имеет вид:

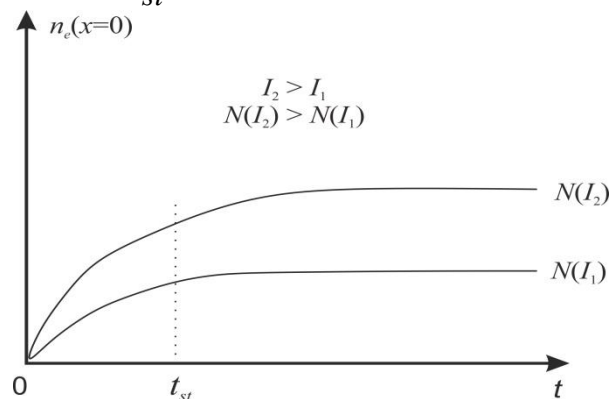
$$\frac{\partial n_e}{\partial t} = D \frac{\partial^2 n_e}{\partial x^2} + \alpha_{VC} I - \beta_1 n_e - \beta_2 n_e^2 - \beta_3 n_e^3$$

Начальные и граничные условия:  $\left. \left( \frac{\partial n_e}{\partial x} \right) \right|_{x=0} = 0$  - отсутствие потока электронов на границе  
 $n_e \Big|_{t=0} = 0$

Уравнение для плотности потока фотонов:  $\frac{\partial I}{\partial x} = -\alpha I \quad I \Big|_{x=0} = (1-R)I_0$

При  $\alpha = \alpha_{VC} = \text{const}(n_e)$  имеем  $I = (1-R)I_0 \exp(-\alpha_{VC}x)$

Решение уравнения для концентрации устроено таким образом, спустя некоторое время  $t_{st}$  устанавливается стационарное распределение концентрации  $N(x)$ .



$$t_{st} \otimes \frac{N}{\alpha_{VC} I}$$

Стационарное распределение концентрации может быть определено из уравнения:

$$D \frac{\partial^2 N}{\partial x^2} = \alpha_{VC} I - \beta_1 N - \beta_2 N^2 - \beta_3 N^3$$

# ФОТОВОЗБУЖДЕНИЕ ПОЛУПРОВОДНИКОВ ЛАЗЕРНЫМ ИЗЛУЧЕНИЕМ

1. Основной вклад вносят диффузия и линейная рекомбинация.

$$N|_{x=0} = \frac{\alpha_{VC}\tau_1 I|_{x=0}}{1 + \alpha_{VC}\sqrt{D\tau_1}}, \quad \tau_1 = \beta_1^{-1} \quad l = \frac{1}{\alpha_{VC}} + \sqrt{D\tau_1} \quad \text{- размер фотовозбужденной области}$$

2. Основной вклад вносит Оже-рекомбинация (малые длительности импульса).

$$D \frac{d^2 N}{dx^2} = -\alpha_{VC} I e^{-\alpha_{VC} x} + \beta_3 N^3$$

Рассмотрим модельный случай когда источник можно перенести на границу, т.е.

$$D \frac{d^2 N}{dx^2} = -\beta_3 N^3 \quad - D \frac{dN}{dx} \Big|_{x=0} = (1-R)I_0$$

У такой задачи есть аналитическое решение:

$$N(x) = \sqrt{\frac{2D}{\beta_3}} \frac{1}{x + \sqrt{\frac{D\sqrt{2D}}{(1-R)I_0\sqrt{\beta_3}}}}$$

На поверхности:  $N_0 = \sqrt{\left( \frac{(1-R)I_0\sqrt{2}}{\sqrt{\beta_3 D}} \right)}$

(профиль концентрации гиперболический)

## НАСЫЩЕНИЕ МЕЖЗОННОГО ПОГЛОЩЕНИЯ

В тех случаях когда энергия кванта незначительно превышает ширину запрещенной зоны при в процессе фотовозбуждения имеет место заполнение электронных уровней у дна зоны проводимости и синхронно идущее обеднение электронами потолка валентной зоны. При достижении определенной концентрации процесс поглощения прекращается.

Коэффициент межзонного поглощения можно приближенно принять равным:

$$\alpha_{VC}(n_e) = \alpha_{VC}(0) \left(1 - \frac{n_e}{n_{max}}\right)$$

$n_{max}$  – концентрация, при которой межзонные переходы полностью прекращаются

Без учета диффузии и рекомбинации имеем:

$$\frac{\partial n_e}{\partial t} = \alpha_{VC}(n_e) I$$

Решение этой системы имеет вид “волны просветления”, движущейся со скоростью  $v$ .

$$\frac{\partial I}{\partial x} = -\alpha_{VC}(n_e) I$$

$$v \approx \frac{(1-R)I_0}{n_{max}}$$

При  $n_{max} \approx 10^{19} \text{ см}^{-3}$   
 $(1-R)I_0 c \approx 10^{23} \text{ эВ}^{-2} \text{ с}^{-1} \text{ см}^4 /$

В отличие от металлов набор эффектов сопровождающих лазерное воздействие в полупроводниках гораздо шире. Поглощение лазерного излучения сопровождается генерацией переносом и рекомбинацией неравновесных носителей. Рост концентрации свободных электронов приводит к увеличению коэффициента объемного поглощения, а при приближении их плазменной частоты к частоте лазерного излучения к сильному росту, а затем к резкому уменьшению величины поглощающей способности. При некоторых условиях возможно уменьшение коэффициента межзонного поглощения из-за эффекта насыщения. В то же время с ростом температуры может быстро увеличиваться коэффициент межзонного поглощения.

СПАСИБО ЗА ВНИМАНИЕ